

ния ядра  $^{238}\text{Np}$  (см. таблицу). Таким образом, схема энергетических уровней этого ядра, приведенная на рисунке, содержит более двадцати уровней в относительно узком интервале его возбуждения ( $0 \sim 600$  кэВ). Здесь представлены только экспериментально обнаруженные уровни из  $\alpha$ -распада. Энергия  $\alpha_0$ -линий определена по  $\gamma$ -излучению ( $E_\gamma = 86,68 \pm 0,03$  кэВ). Гамма-спектр изучен с помощью Ge(Li)- и Si(Li)-детекторов с образцом америция этого же изотопного состава. Большая часть обнаруженных  $\gamma$ -переходов в ядре  $^{238}\text{Np}$  приведена на схеме.

Как видно из рисунка, схема содержит семь полос. Начальные уровни этих полос имеют квантовые характеристики  $I\pi N = 2+2$  (основное состояние ядра  $^{238}\text{Np}$  \*);  $3+3; 3-3; 5+5; 6-6; 5-5$  (благоприятная полоса);  $6+6$ . Такая последовательность полос и их квантовые характеристики не противоречат классификации с точки зрения нечетных протонных и нейтронных нильсоновских орбиталей соседних нечетных ядер  $^{241}\text{Am}$  и  $^{243}\text{Cm}$  [5, 6]. Согласно этой классификации не исключено присутствие в нижней части схемы полосы с начальными характеристиками  $2-2$ . Повидимому, обнаруженные нами, но не приведенные в таблице уровни с  $E_\gamma \approx 216$  и  $258$  кэВ — члены этой полосы.

Авторы благодарят А. А. Арутюнова, Ю. Н. Дмитриева и К. И. Меркулова за помощь, оказанную при выполнении

\* Спин основного состояния ядра  $^{238}\text{Np}$  ( $I = 2$ ) определен в работе [7].

$\alpha$ -спектроскопических исследований, а также В. А. Давиденко за внимание и интерес к данной работе. Мы благодарны В. А. Пчелину, В. М. Шубко за часть выполненной радиохимической работы и Ю. Ф. Родионову, Ц. Вылову за помощь, оказанную при изучении  $\gamma$ -спектра.

## СПИСОК ЛИТЕРАТУРЫ

- Баранов С. А. и др. «Изв. АН СССР. Сер. физ.», 1959, т. 23, с. 1402.
- Rytz A. «Atomic Data and Nuclear Data Tables», 1973, N 12, p. 479.
- Зеленков А. Г. и др. «Атомная энергия», наст. вып., с. 405.
- Barnes R. e. a. «J. Inorg. Nucl. Chem.», 1959, v. 9, p. 105.
- Lederer C., Hollander J., Perlman I. Table of Isotopes. Sixth Edition. N. Y., L., Sydney. J. Wiley & Sons, 1967.
- Asaro F., Michel M., Thompson S., Perlman I. In: Proc. of the Rutherford Jubilee Intern. Conf. Manchester, UCRL 9566, 1961, p. 32.
- Hyde E., Perlman I., Seaborg G. The Nuclear Properties of the Heavy Elements. V. II. New Jersey, Prentice-hall, inc. Englewood Cliffs, 1964, p. 859.
- Albridge R., Hubbs J., Marrus R. «Phys. Rev.», 1968, v. 111, p. 1137.

Поступило в Редакцию 8.01.79

УДК 539.1.14.:539.4.16

## Новые измерения парциальных периодов полураспада изомерного состояния $^{242m}\text{Am}$

ЗЕЛЕНКОВ А. Г., ПЧЕЛИН В. А., РОДИОНОВ Ю. Ф., ЧИСТИЯКОВ Л. В., ШУБКО В. М.

В последние годы в связи с потребностями ядерной энергетики и различных отраслей атомной промышленности остро встал вопрос о необходимости уточнения ядерных данных актиноидов [1], в частности периодов полураспада трансплутониевых элементов [2, 3]. Одним из таких недостаточно изученных нуклидов является долгоживущий изомер  $^{242m}\text{Am}$ , время жизни которого и парциальный период полураспада по отношению к  $\alpha$ -распаду были описаны двадцать лет назад в работе [4]. Они были найдены равными соответственно  $152 \pm 7$  и  $(3,20 \pm 0,16) \times 10^4$  лет.

Нами предприняты повторные измерения этих значений в целях их проверки и уточнения. Для измерений использован продукт с высоким обогащением по исследуемому нуклиду. Наиболее простая задача — определение парциального периода полураспада по отношению к  $\alpha$ -распаду. Он был вычислен из сопоставления массового соотношения  $^{242m}\text{Am}$  и  $^{241}\text{Am}$  в продукте со спектром  $\alpha$ -излучения, измеренным полупроводниковыми спектрометрами и магнитным альфа-спектрографом, и оказался равным  $(3,12 \pm 0,05) \cdot 10^4$  лет. При определении было использовано значение периода полураспада  $^{241}\text{Am}$   $432,6 \pm 0,6$  года [3].

Подное время жизни  $^{242m}\text{Am}$  измеряли двумя методами. В свежеочищенном продукте полупроводниковым альфа-спектрометром были выполнены четыре серии измерений накопления  $^{242}\text{Cm}$ , образующегося в результате  $\beta$ -распада  $^{242}\text{Am}$ . Скорость накопления  $\alpha$ -активности  $^{242}\text{Cm}$  по отношению к  $\alpha$ -активности  $^{242m}\text{Am}$  найдена равной  $(3,22 \pm 0,04) \cdot 10^{-2} \text{ ч}^{-1}$ . Это позволило найти период полураспада  $^{242m}\text{Am}$ :

$$T_{1/2} = 141,9 \pm 1,7 \text{ года.}$$

При вычислении использовались следующие значения

периода полураспада  $^{242}\text{Cm}$  и ветви  $\beta$ -распада  $^{242}\text{Am}$ :  $162,8 \pm 0,4$  сут [3] и  $83 \pm 0,5\%$  [5, 6].

Для определения периода полураспада  $^{242m}\text{Am}$  были проведены также измерения соотношения между интенсивностью  $\alpha$ -излучения и суммарной интенсивностью конверсионного и  $\beta$ -излучений  $^{242m}\text{Am}$  и  $^{242}\text{Am}$  с помощью пропорциональных 4-л-счетчиков. В целях достижения максимальной эффективности регистрации низкоэнергетического излучения продукт наносили на тонкие золоченные пленки. Учитывалась поправка на параллельно измерявшиеся полупроводниковым альфа-спектрометром накопление  $^{242}\text{Cm}$ . Были выполнены измерения на 7 мишнях из свежеочищенного продукта. Отношение суммарной интенсивности конверсионного и  $\beta$ -излучений  $^{242m}\text{Am}$  и  $^{242}\text{Am}$  к интенсивности  $\alpha$ -излучения  $^{242m}\text{Am}$  оказалось равным  $431 \pm 6$ . Отсюда получено значение  $T_{1/2} (^{242m}\text{Am}) = 139,7 \pm 1,8$  года. При вычислении было принято, что относительная интенсивность электронного захвата  $^{242}\text{Am}$  в основное состояние составляет  $6,5 \pm 0,3\%$  [5, 6], а выход флуоресценции равен 0,96. На основе выполненных измерений рекомендуется принять значение периода полураспада  $^{242m}\text{Am}$   $141 \pm 2$  года, а относительную вероятность  $\alpha$ -распада  $0,45 \pm 0,01\%$ .

## СПИСОК ЛИТЕРАТУРЫ

- In: Proc. of an Advisory Group Meeting Held «Transactinium Isotope Nuclear Data». Karlsruhe, 3-7 Nov. 1975. Report IAEA-186.
- Баранов С. А., Зеленков А. Г., Кулаков В. М. «Атомная энергия», 1976, т. 41, вып. 5, с. 342.
- Summary report of first Coordinated Research Meeting on the Measurement of Transactinium Isotope Nuclear Data. Report IAEA INDC (NDS)-96/N. Vienna, 1978.
- Barnes R. e. a. «J. Inorg. Nucl. Chem.», 1959, v. 9, p. 105.

5. Чукреев Ф. Е., Григорьян Ю. И., Шурников Е. Н.  
В кн.: Тезисы XXVIII Совещания по ядерной спектротехнике и структуре ядра. Л., «Наука», 1978, с. 556.

6. Международный файл данных по структуре атомного ядра, 1974.

Поступило в Редакцию 08.01.79

УДК 621.039.519:621.039.519.2

## Определение запаса реактивности по результатам критических и подкритических экспериментов

ГАГАРИНСКИЙ А. Ю., ЖУКОВ О. Е., ЗАЙЦЕВ А. Ф., ПЕТРОВ В. В., САДЫКОВ Р. Р., ЦЫГАНКОВ Л. С.

Предсказание поведения реактора в процессе эксплуатации, основанное на расчетах изменения коэффициента размножения нейтронов  $k_{\text{эфф}}$  или реактивности  $\rho$ , опирается на определение начального запаса реактивности, скомпенсированного органами регулирования. Из экспериментов вблизи критического состояния или в подкритическом состоянии реактора определяется величина, в той или иной степени близкая к искомому запасу реактивности.

Пусть для простоты реактивность реактора зависит от двух параметров  $a$  и  $b$  с таким диапазоном их изменения

$$a_1 \leq a \leq a_0 \text{ и } b_1 \leq b \leq b_0,$$

что

$$\rho(a_0, b_1) = \rho(a_1, b_0) = 0. \quad (1)$$

Типичная процедура экспериментов вблизи критического состояния заключается в измерении производной реактивности по одному из параметров, необходимый диапазон изменения которого обеспечивается вариацией другого параметра, поддерживающей систему в критическом состоянии. По результатам измерения производной, например  $(\partial\rho/\partial b)[a_{\text{кр}}(b), b]$ , определяется «интегральная реактивность»

$$\rho_{\Sigma} = \int_{b_1}^{b_0} \partial\rho/\partial b [a_{\text{кр}}(b), b] db, \quad (2)$$

отличающаяся от запаса реактивности

$$\rho_0 = \rho(a_0, b_0) = \int_{b_1}^{b_0} \partial\rho/\partial b (a_0, b) db \quad (2a)$$

на величину

$$\Delta\rho = \rho_0 - \rho_{\Sigma} = \int_{b_1}^{b_0} db \int_{a_{\text{кр}}(b)}^{a_0} \frac{\partial^2 \rho(a, b)}{\partial a \partial b} da. \quad (3)$$

Из подкритических экспериментов определяется разность между значениями реактивности для двух состояний реактора:

$$\rho_{\alpha} = \rho(a_0, b^*) - \rho(a_1, b^*), \quad (4)$$

где  $b^* \leq b_1$ . Нетрудно показать, что

$$\Delta\rho = \rho_0 - \rho_{\alpha} = \int_{b^*}^{b_0} db \int_{a_1}^{a_0} \frac{\partial^2 \rho(a, b)}{\partial a \partial b} da. \quad (5)$$

Таким образом, разность между запасом реактивности и измеряемой величиной определяется знаком и значением смешанной производной реактивности по двум параметрам. В некоторых простых случаях, например для однородного реактора без отражателя,  $\Delta\rho$  (3,5) может быть легко определена в рамках принятой модели замедления и даже оказаться равной нулю [1]. Однако для реактора с отражателем  $\rho_{\Sigma}$  (2), получаемая в типичном эксперименте с доливом замедлителя и разгрузкой топлива, может заметно отличаться от искомого запаса реактивности, и для

его корректного определения рекомендуется [2] расчет поправки (3).

В общем случае расчетный анализ поправок (3), (5) является, по-видимому, необходимым, хотя и громоздким дополнением к экспериментам по определению запаса реактивности. Далее показана эффективность использования малогрупповых расчетных методик, развитых для широкого класса систем [3], на примере компактного уранводного реактора. Высокая чувствительность  $k_{\text{эфф}}$  к форме активной зоны, обусловленная малыми размерами последней, позволила поставить эксперимент таким образом, чтобы обеспечить как изменение знака поправки  $\Delta\rho$  (3), так и ее значения в широком диапазоне.

Опыты проводились с практической гомогенной активной зоной, набираемой из кассет с плотноупакованными твэлами и окруженной бесконечным водяным отражателем. Изменение реактивности могло осуществляться выдвижением вниз нескольких соседних центральных кассет аналогично принципу регулирования ВВЭР (их положение — параметр  $a$ ), изменением радиуса активной зоны вариацией числа кассет (параметр  $b$ ) и отравлением замедлителя борной кислотой (ее концентрация — параметр  $c$ ).

Легко увидеть, что существует некоторое оптимальное для данной активной зоны число центральных кассет,

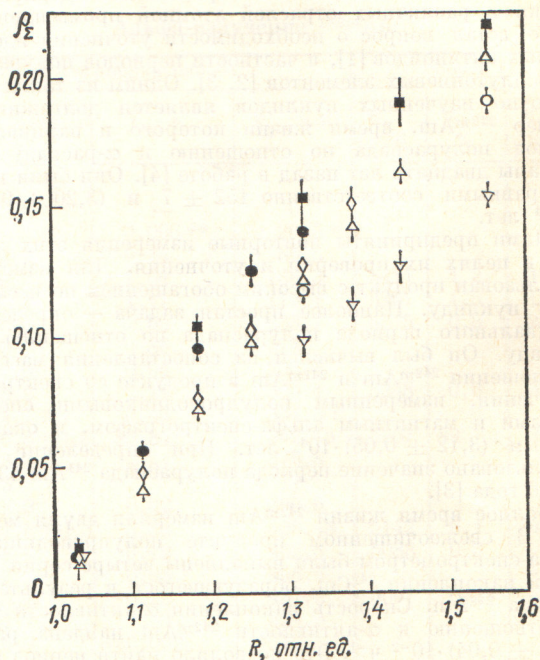


Рис. 1. Зависимость интегральной реактивности от радиуса активной зоны:  $\diamond - S_{\text{п.к}}/S_{\text{а.з}} < (S_{\text{п.к}}/S_{\text{а.з}})_{\text{опт}}$ ;  $\triangle - S_{\text{п.к}}/S_{\text{а.з}} \approx (S_{\text{п.к}}/S_{\text{а.з}})_{\text{опт}}$ ;  $\nabla - S_{\text{п.к}}/S_{\text{а.з}} > (S_{\text{п.к}}/S_{\text{а.з}})_{\text{опт}}$  (параметры  $a, b$ );  $\circ$  — параметры  $a, c$ ;  $\bullet, \blacksquare$  — параметры  $b, c_1, c_2$